

# Cromosfera solară dezvăluită prin spectroscopie

Daniela Lăcătuș

Seminarul Științific al Institutului Astronomic Român  
10 Martie 2021

NCAR  
UCAR

**ASP**   
Advanced Study Program

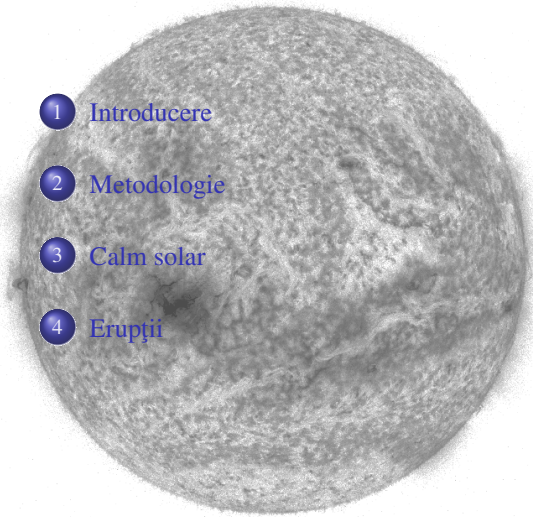
 **MONASH**  
University

NCAR  
UCAR **HAO**

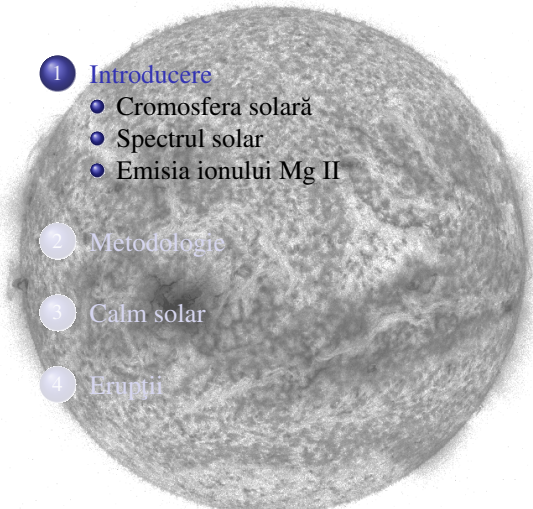
NCAR is sponsored by  
National Science Foundation



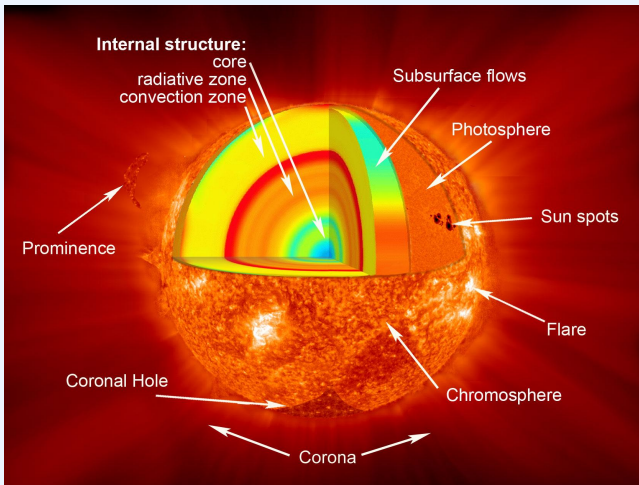
# Outline

- 
- 1 Introducere
  - 2 Metodologie
  - 3 Calm solar
  - 4 Erupții

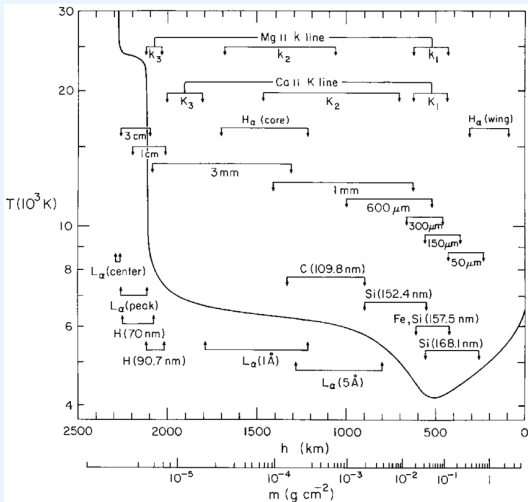
# Outline

- 
- 1 **Introducere**
    - Cromosfera solară
    - Spectrul solar
    - Emisia ionului Mg II
  - 2 Metodologie
  - 3 Calm solar
  - 4 Erupții

# Cromosfera solară

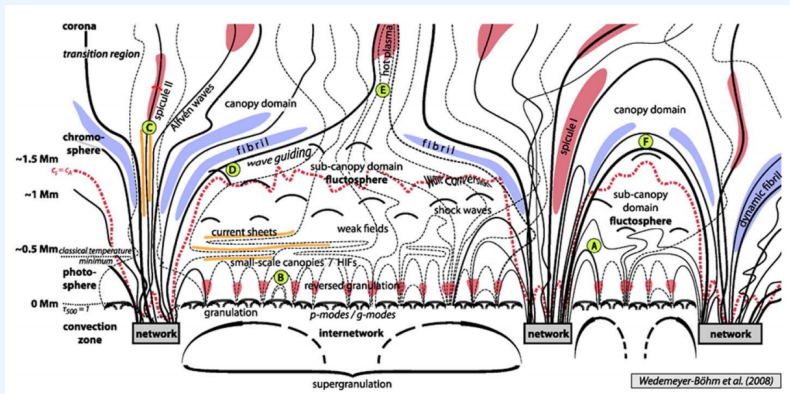


# Cromosfera solară

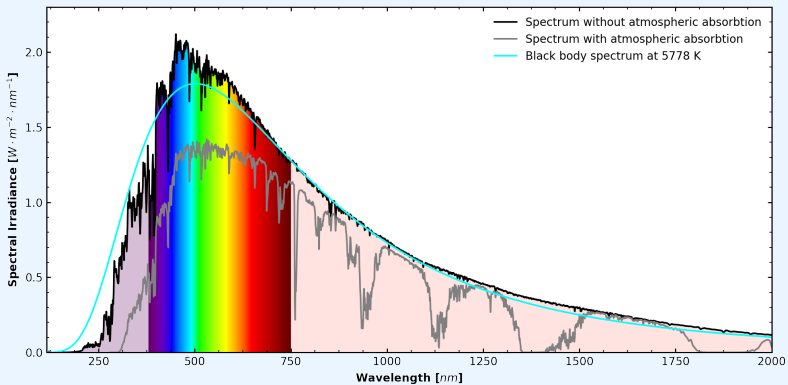


Vernazza et al. (1981)

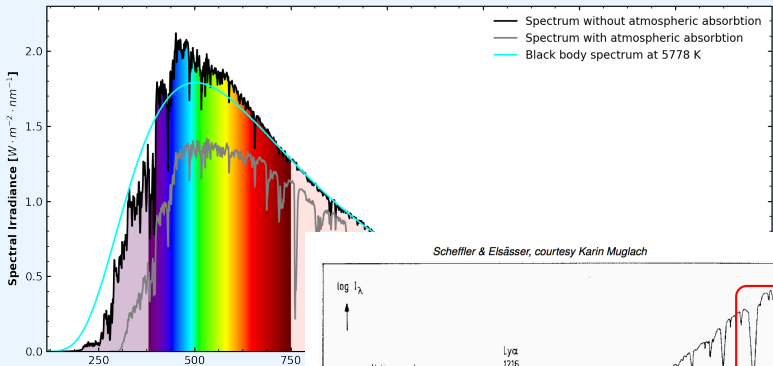
# Cromosfera solară



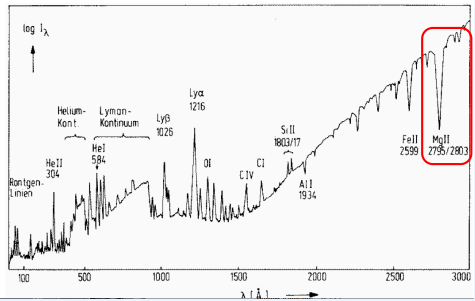
# Spectrul Solar



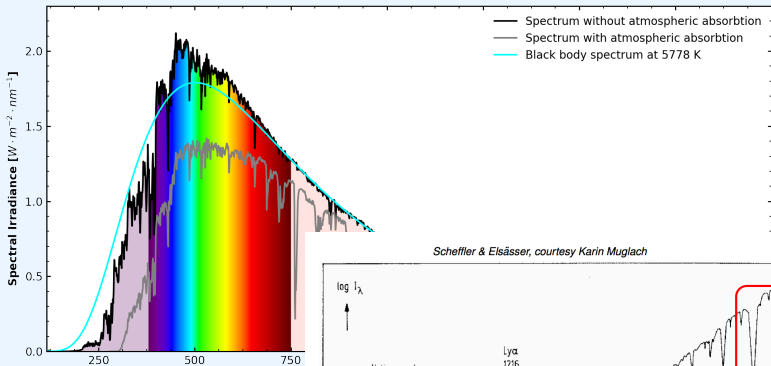
# Spectrul Solar



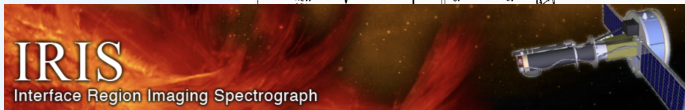
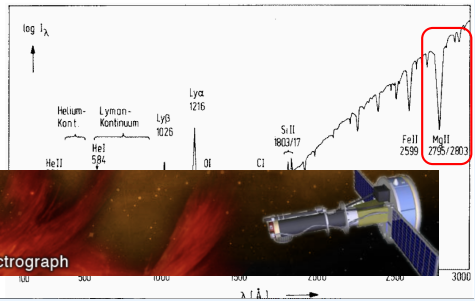
Scheffler & Elsässer, courtesy Karin Muglach

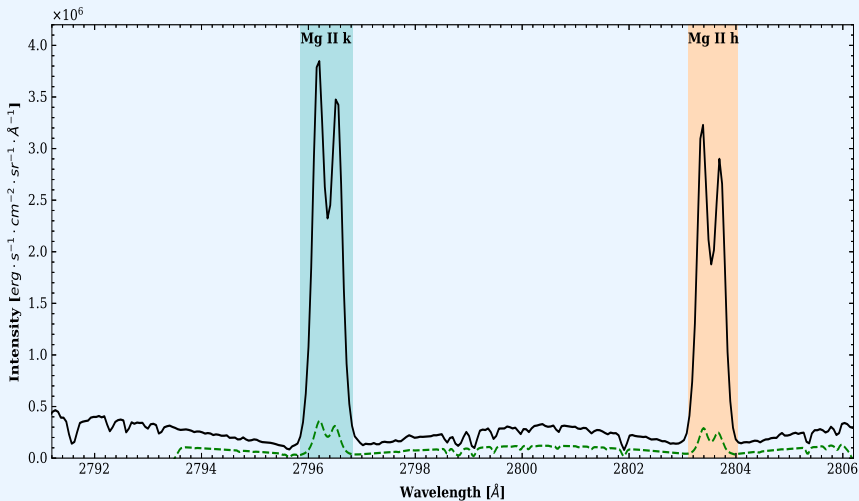


# Spectrul Solar

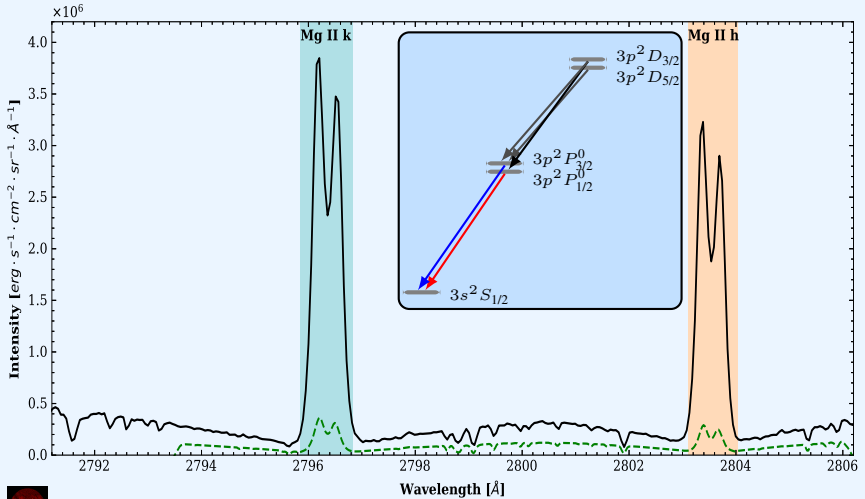


Scheffler & Elsässer, courtesy Karin Muglach

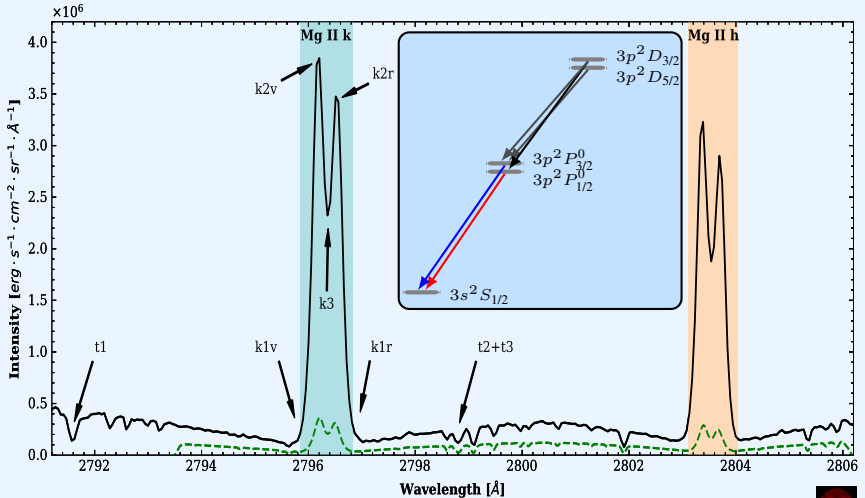




Average spectrum of the Mg II lines



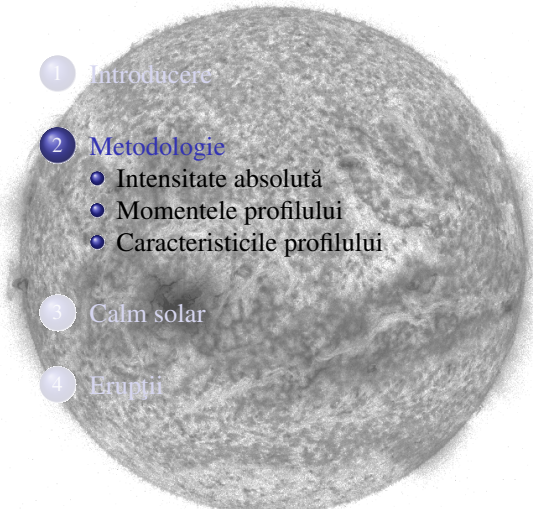
Average spectrum of the Mg II lines



Average spectrum of the Mg II lines



# Outline

- 
- 1 Introducere
  - 2 Metodologie
    - Intensitate absolută
    - Momentele profilului
    - Caracteristicile profilului
  - 3 Calm solar
  - 4 Erupții

## Intensitate absolută

Level 2 data product  $\Rightarrow$  calibrare lungime undă  $\Rightarrow N(\lambda, t)$  în DN  $\Rightarrow I(\lambda, t)$  în  $\text{erg} \cdot \text{s}^{-1} \cdot \text{cm}^{-2} \cdot \text{sr}^{-1} \cdot \text{\AA}^{-1}$  folosind Liu et al. (2015)

$$I(\lambda, t) = \frac{N(\lambda, t) \cdot Q(\lambda) \cdot E(\lambda)}{t_{\text{exp}} \cdot \Delta\lambda \cdot A_{\text{eff}} \cdot \Omega}$$

unde,

- ...  $N(\lambda, t)$  - intensitatea observată
- ...  $Q(\lambda)$  - caracteristici instrumentale: 18 fotoni  $\cdot \text{DN}^{-1}$  pentru regiunea spectrală (De Pontieu et al., 2014)
- ...  $E(\lambda) = h \cdot c / \lambda$  - energia fotonului
- ...  $t_{\text{exp}}$  - timp expunere
- ...  $\Delta\lambda$  - rezoluție spectrală,
- ...  $A_{\text{eff}}$  - aria efectivă (*iris\_get\_response.pro*)
- ...  $\Omega$  - unghi solid

# Momentele profilului

Intensitate integrată:

$$I_{\text{core}} = \int I(\lambda) d\lambda$$

Effectul Doppler:

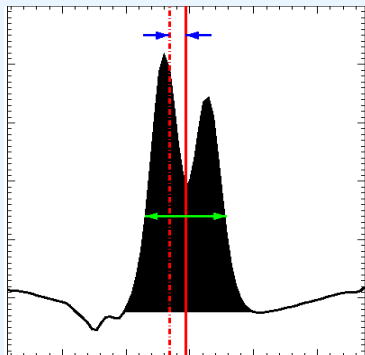
$$\Delta\lambda = \frac{\int \lambda I(\lambda) d\lambda}{\int I(\lambda) d\lambda} - \lambda_0$$

⇒ Viteză Doppler:

$$\Delta v = \frac{\Delta\lambda}{\lambda_0} \cdot c$$

Dispersia lungimilor de undă:

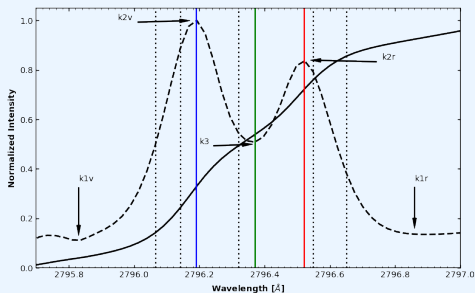
$$\sigma = \sqrt{\frac{\int (\lambda - \lambda_0)^2 I(\lambda, t) d\lambda}{\int I(\lambda, t) d\lambda}}$$



⇒ Lărgimea profilului:

$$\text{FWHM} \approx 2.35\sigma \, d\lambda$$

# Caracteristicile profilului



Distanță dintre maxime:

$$W_{k2} = \lambda_{k_{2v}} - \lambda_{k_{2r}}$$

Asimetria liniei:

$$R_{k2} = \frac{(I_{k_{2r}} - I_{k_3}) - (I_{k_3} - I_{k_{2v}})}{I_{k_{2r}} - I_{k_{2v}}}$$

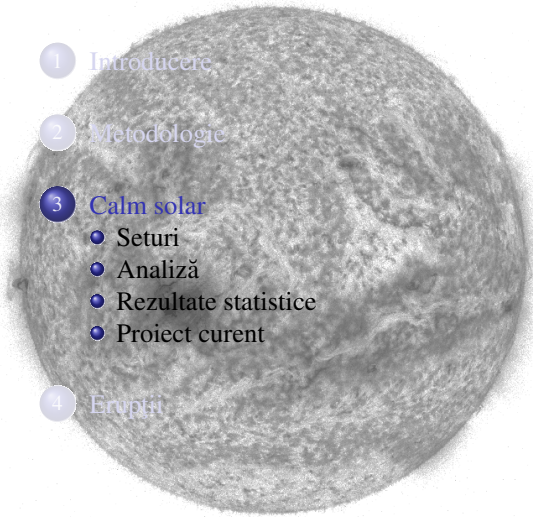
Adâncimea centrului de absorbție:

$$D_{k3} = 1 - \frac{2I_{k_3}}{I_{k_{2r}} + I_{k_{2v}}}$$

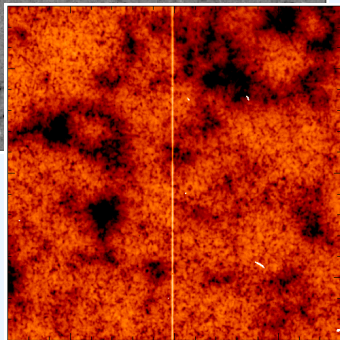
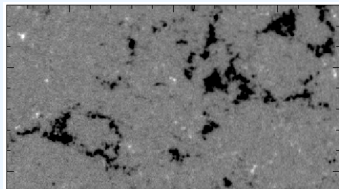
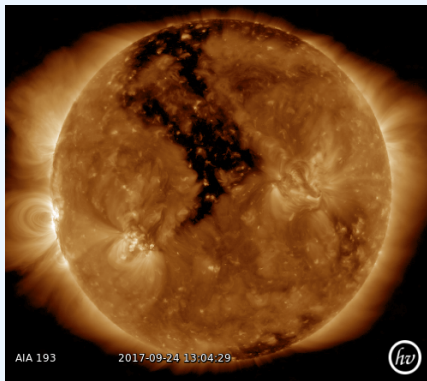
Rația liniilor de emisie:

$$R_{kh} = \frac{I_k}{I_h}$$

# Outline

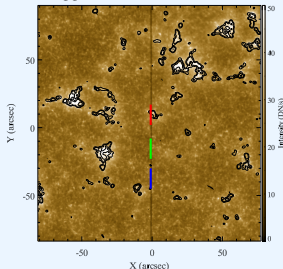
- 
- 1 Introducere
  - 2 Metodologie
  - 3 **Calm solar****
    - **Seturi**
    - **Analiză**
    - **Rezultate statistice**
    - **Proiect curent**
  - 4 Erupții

# Calm solar

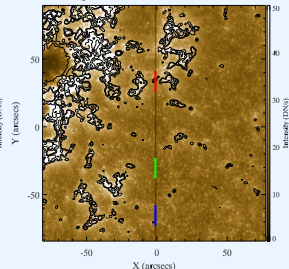


## Seturi analizate

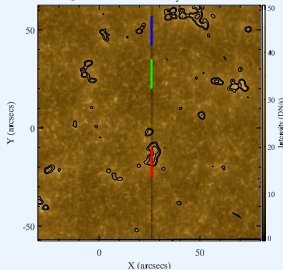
QOS: SJI 2796 31-Jul-2014 18:21:58



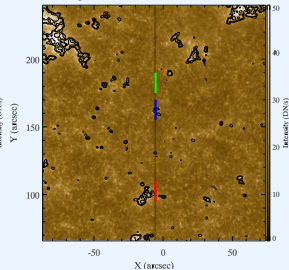
AROS: SJI 2796 27-Jul-2014 18:09:56



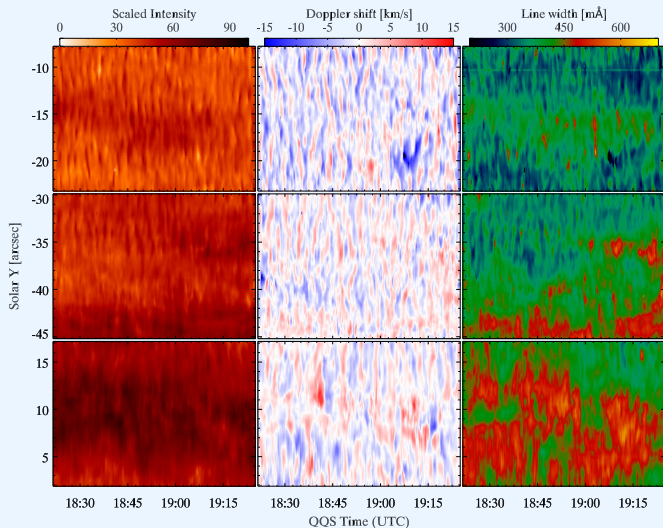
CHOS1: SJI 2796 24-May-2015 11:49:23



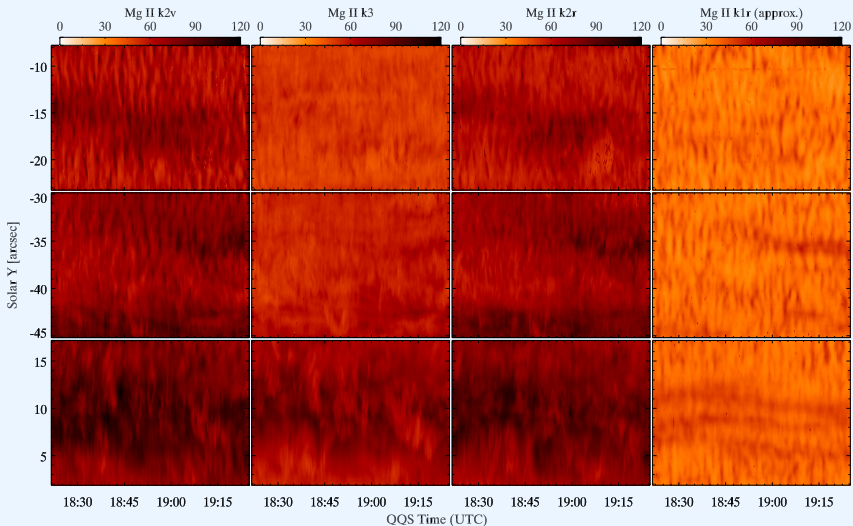
CHOS2: SJI 2796 10-Jan-2014 00:17:58



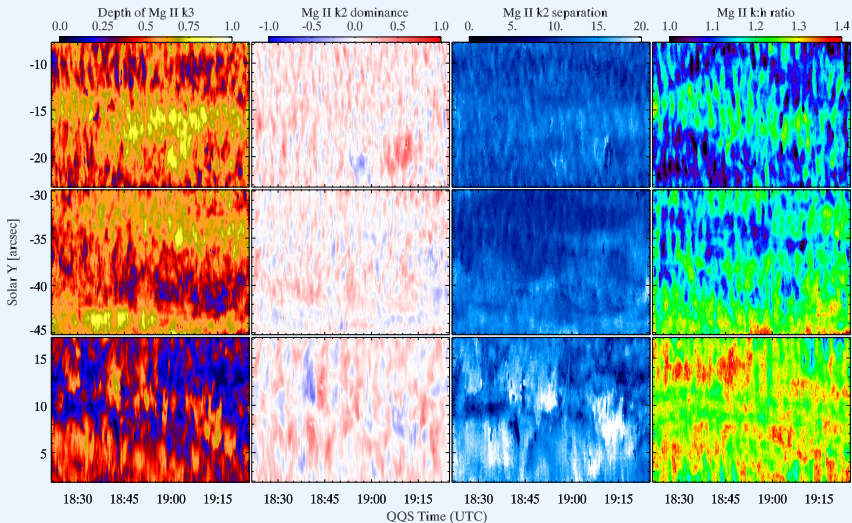
# Momentele profilului



# Caracteristicile profilului: Intensitate



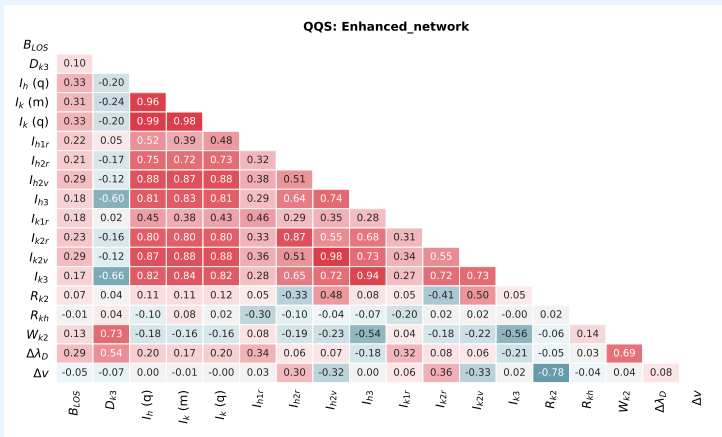
# Caracteristicile profilului: Relații



Fit parameters for the Mg II lines characteristics in the datasets, for different activity levels.

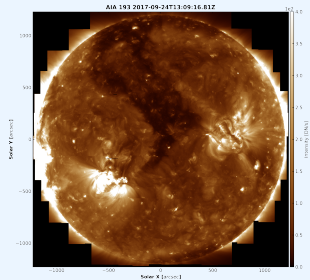
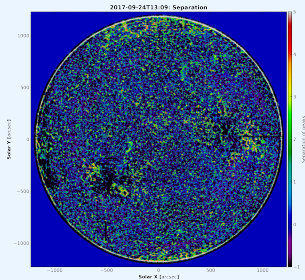
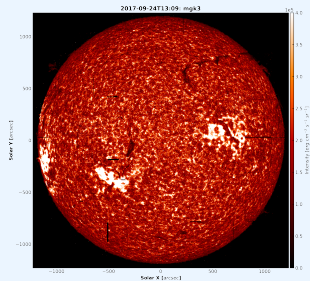
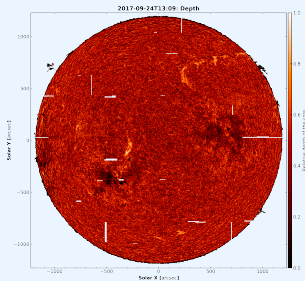
Set	Activity Level	Intensity ( $10^5$ ) [ $\text{erg cm}^{-2} \text{s}^{-1} \text{sr}^{-1}$ ]	Doppler Shift [km/s]	Line Width [mÅ]	Magnetic field [G]
QQS	Inter	$0.62 \pm 0.21$	$-0.97 \pm 3.58$	$345 \pm 42$	$1.07 \pm 7.37$
	Net	$1.50 \pm 0.64$	$0.05 \pm 2.51$	$407 \pm 65$	$2.21 \pm 13.40$
	E Net	$2.68 \pm 1.03$	$0.13 \pm 2.65$	$454 \pm 54$	$15.07 \pm 27.02$
ARQS	Inter	$0.47 \pm 0.17$	$-0.11 \pm 2.32$	$312 \pm 37$	$-0.02 \pm 7.07$
	Net	$1.64 \pm 0.61$	$-0.06 \pm 2.34$	$426 \pm 54$	$-2.54 \pm 18.86$
	E Net	$3.09 \pm 0.94$	$0.46 \pm 2.31$	$495 \pm 52$	$-17.75 \pm 29.74$
CHQS1	Inter	$0.84 \pm 0.27$	$0.64 \pm 3.28$	$342 \pm 70$	$-0.35 \pm 5.94$
	Net	$1.73 \pm 0.48$	$0.47 \pm 2.53$	$446 \pm 50$	$5.68 \pm 9.62$
	E Net	$4.12 \pm 1.13$	$0.17 \pm 2.63$	$554 \pm 48$	$195.04 \pm 198.37$
CHQS2	Inter	$0.73 \pm 0.28$	$-0.21 \pm 3.74$	$398 \pm 60$	$-1.06 \pm 8.46$
	Net	$1.08 \pm 0.50$	$-0.63 \pm 4.07$	$441 \pm 70$	$-10.45 \pm 26.50$
	E Net	$2.61 \pm 1.21$	$0.80 \pm 3.50$	$507 \pm 51$	$-31.64 \pm 60.06$

Set	Activity Level	Core Depths	Peak Dominance	Peak Separation mÅ	$k:h$ Ratio
QQS	Inter	$0.53 \pm 0.12$	$0.07 \pm 0.14$	$271 \pm 38$	$1.12 \pm 0.08$
	Net	$0.52 \pm 0.12$	$0.04 \pm 0.12$	$302 \pm 56$	$1.19 \pm 0.07$
	E Net	$0.33 \pm 0.15$	$0.06 \pm 0.16$	$323 \pm 79$	$1.27 \pm 0.05$
ARQS	Inter	$0.42 \pm 0.12$	$0.04 \pm 0.09$	$226 \pm 31$	$1.08 \pm 0.06$
	Net	$0.70 \pm 0.09$	$0.05 \pm 0.12$	$317 \pm 38$	$1.20 \pm 0.05$
	E Net	$0.36 \pm 0.14$	$0.05 \pm 0.13$	$355 \pm 75$	$1.30 \pm 0.05$
CHQS1	Inter	$0.52 \pm 0.12$	$0.09 \pm 0.16$	$309 \pm 46$	-
	Net	$0.46 \pm 0.11$	$0.05 \pm 0.15$	$356 \pm 53$	-
	E Net	$0.38 \pm 0.16$	$0.04 \pm 0.18$	$332 \pm 81$	-
CHQS2	Inter	$0.43 \pm 0.12$	$0.05 \pm 0.17$	$309 \pm 50$	$1.14 \pm 0.08$
	Net	$0.47 \pm 0.14$	$0.08 \pm 0.19$	$358 \pm 78$	$1.17 \pm 0.05$
	E Net	$0.41 \pm 0.16$	$0.02 \pm 0.19$	$389 \pm 86$	$1.27 \pm 0.05$

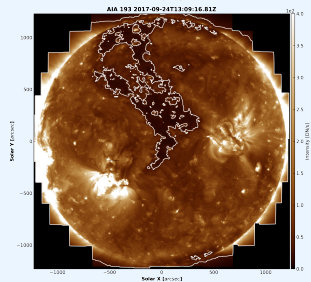
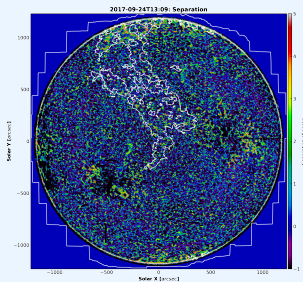
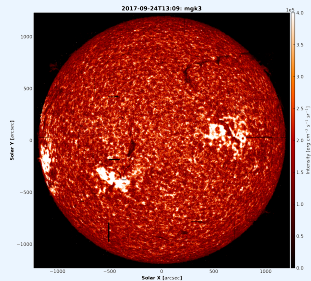
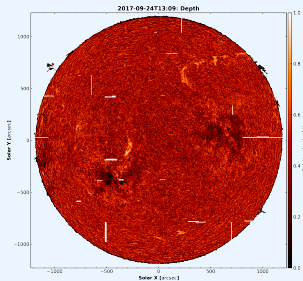


Lacatus & Donea (in prep.)

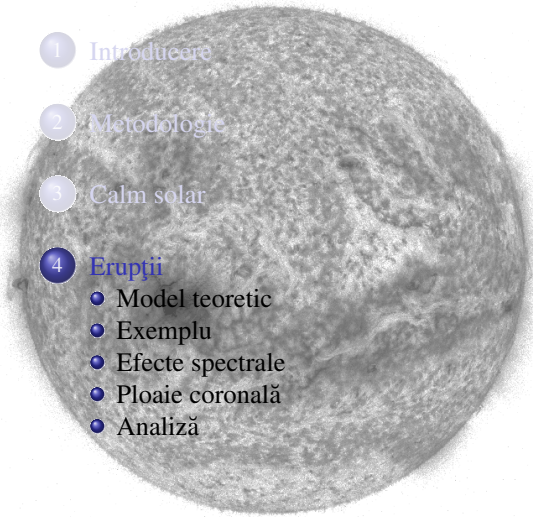
## Proiect în desfășurare



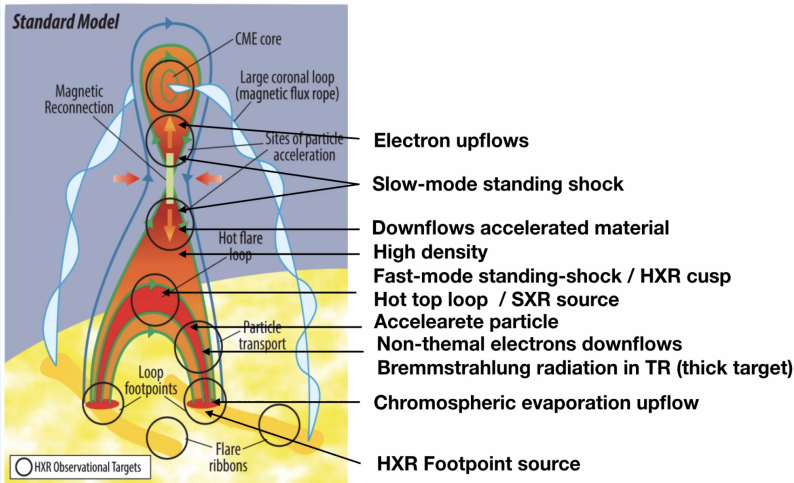
## Proiect în desfășurare



# Outline

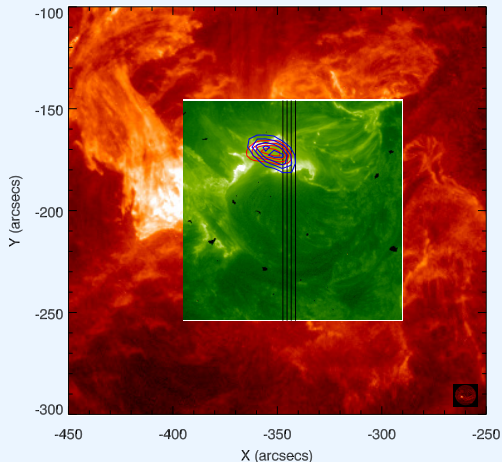
- 
- 1 Introducere
  - 2 Metodologie
  - 3 Calm solar
  - 4 Eruptii
    - Model teoretic
    - Exemplu
    - Efecte spectrale
    - Ploaie coronală
    - Analiză

# Model Eruptie



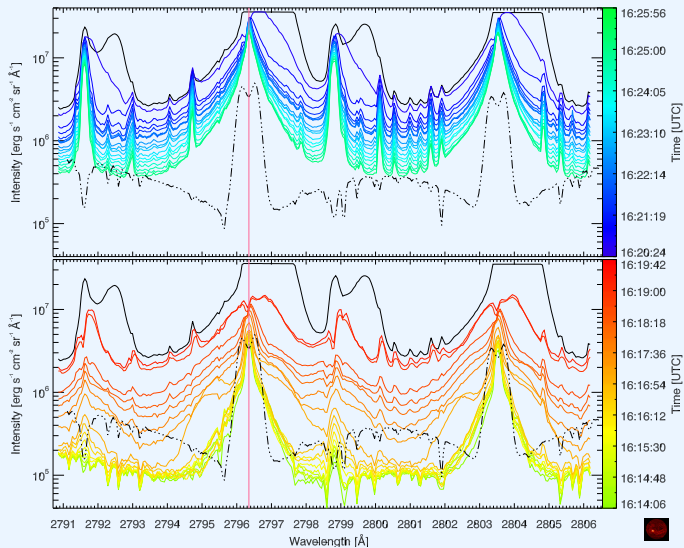
Cartoon model based on Yokoyama & Shibata (1998)

# March 11, 2015 X2.1

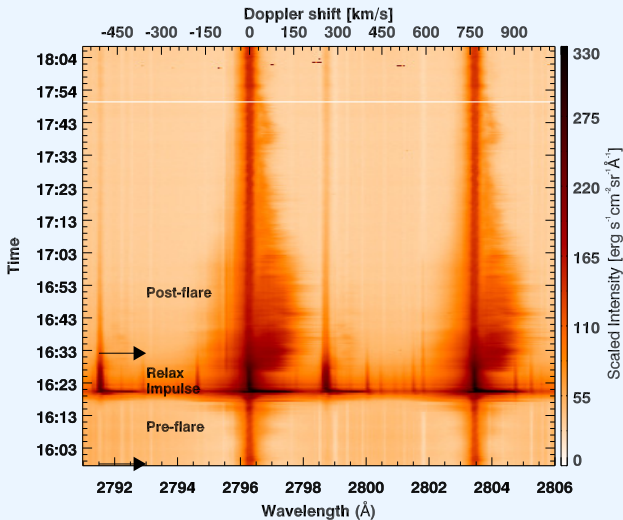


Position of the soft (red) and hard (blue) X-ray kernels with respect to the IRIS SG slit positions (black vertical lines). The background (red) is SDO/AIA 304 emission and the foreground (green) is IRIS/SJI 1330 Å.

# Emisia Mg II k&h



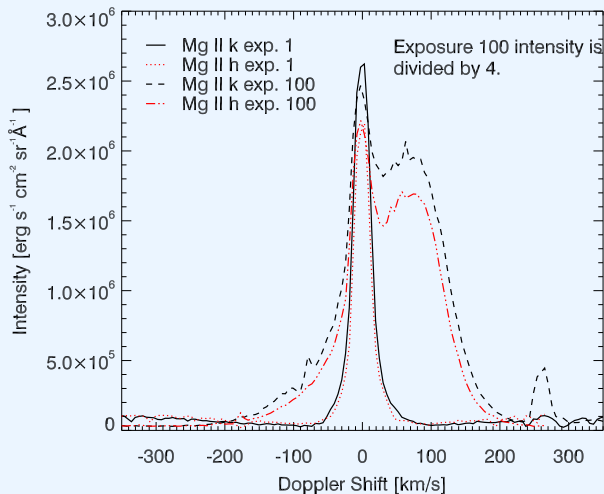
# Date observaționale



The Mg II spectral profile evolution at -175" (slit 0).

Lacatus et al. (2017)

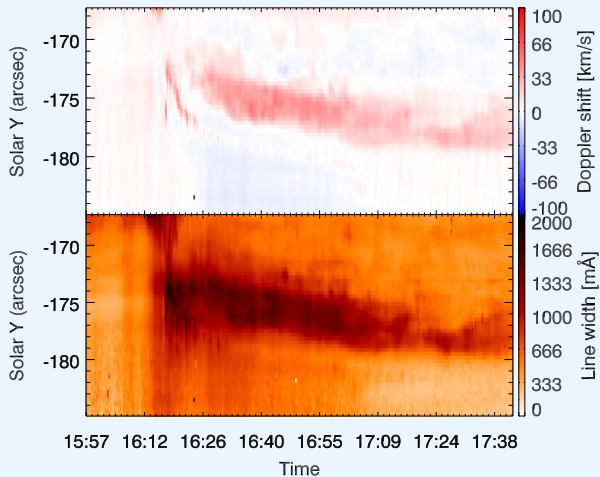
# Date observationale



Mg II k&h line profile changes in the Post-flare times compared to Pre-flare. The Post-flare emission has been scaled.

Lacatus et al. (2017)

# Date observaționale



Evolution of Doppler Shift and Line widths for the Mg II k line in the peculiar profile region.

Lacatus et al. (2017)

## Elemente distinctive

Observed frequency-integrated intensity ( $\text{erg cm}^{-2} \text{s}^{-1} \text{sr}^{-1}$ )

Multiplet	Mg II $3p - 3s$	Mg II $3d - 3p$	C II 1334 + 1335	Si IV 1403
Phase				
QS	$5.36 \times 10^5$	...	6070	572
Pre-flare	$1.83 \times 10^6$	...	$5.16 \times 10^4$	2840
Impulse	$4.36 \times 10^7$	$\approx 1.36 \times 10^7$	$1.73 \times 10^7$	$> 3.86 \times 10^6$
Relax	$2.77 \times 10^7$	$4.81 \times 10^6$	$4.39 \times 10^6$	$3.51 \times 10^5$
<b>Post-flare</b>	<b><math>1.82 \times 10^7</math></b>	<b><math>\approx 4.51 \times 10^5</math></b>	<b><math>1.45 \times 10^6</math></b>	<b><math>2.04 \times 10^5</math></b>

- ... Sudden onset 6 min after flare.
- ... Region 20 pixels across (6") or 4-5 Mm.
- ... No obvious self-reversed of broad components.
- ... Smooth profile across Doppler shifts  $\implies$  unresolved motion.
- ... Total PF intensity higher than core  $\implies$  not scattering, plasma pocket.
- ... Mg II k/h ratio  $\approx 1.15$  (thin 2:1) and C II 1334/1335 Å ratio  $\approx 1$ . (thin 1:2)  $\implies$  optically thick plasma?
- ... PF profile width of 150 km/s and  $\sim 70$  km/s redshift  $\implies$  4X more energy in unresolved motions than in resolved ones  $\implies$  Magnetic fields play important role?

## Analiză teoretică

$$\text{Line opacity } \varepsilon \approx \frac{C_{31}}{A_{31} + C_{31}} \ll P_{esc} \approx \frac{1 - \exp(-\tau_0)}{\tau_0}$$

### Radiation Anisotropy

$\tau_0$  for  $h$  is  $\approx 1/2$ , and for  $k$  is  $\approx 1$ , only outermost strands will be seen.

### Emission effectively thin across strand

$$I_{thin} = \frac{h\nu_{ji}}{4\pi} n_1 C_{ji} \frac{W}{\cos\theta} \approx 1.1 \times 10^7 \text{ erg cm}^{-2} \text{ s}^{-1} \text{ sr}^{-1}$$

**Mg II transitions** Observed intensity ratio of triplet to h& k is 1/40:

$$\frac{I_{3d-3p}}{I_{3p-3s}} \approx \frac{C_{3s-3p}}{C_{3s-3d}} \approx \frac{1}{6} \exp\left(\frac{4.86}{T_{e4}}\right) \Rightarrow T_{e4} \approx 2 - 2.5$$

**Doppler shift**  $\sim 70$  km/s shift  $\Rightarrow$  plasma dropped from  $\sim 5$  Mm

**Sudden onset**  $\times 2$  increase in intensity in  $< 40$  s. Small scale motions ( $\xi_{10} \approx 100 \text{ km s}^{-1}$ ) within a coherent downflow of  $70 \text{ km s}^{-1}$ .

**Broad lines origin:** Scattering inside the strand can not lead to emission so far from core. Therefore we assume:

$$\xi \approx v_A = \frac{B}{\sqrt{4\pi\rho}} \Rightarrow B \approx 17G \text{ in chromosphere}$$

The kinetic energy density  $\sim 2 \times 10^{10} \text{ erg cm}^{-2}$ .

X-class flare:  $10^{11} \text{ erg cm}^{-2} \text{ s}^{-1}$  for  $\sim 10^{2-3}$  sec, total energy density  $\Rightarrow 10^{13-14} \text{ erg cm}^{-2}$ , so only 1/1000 needed for waves.

## Analiză teoretică

- Total radiated flux in Mg II h&k  $\approx \pi I t_r \approx 3 \times 10^{10} \text{ erg cm}^{-2}$   
 $\Rightarrow$  Total radiative fluxes from chromosphere 4-10 $\times$  higher (Anderson & Athay, 1989):  $10^{11} \text{ erg cm}^{-2}$
- The line width and intensity decrease in time, suggesting slow decay of waves, with energy converted to heating by phase mixing, resonant absorption, ion-neutral interactions, etc.
- For reference, an Alfvénic wave with a period of 10 seconds ( $\omega \approx 0.6 \text{ rad sec}^{-1}$ ), oscillating in the plasma with  $n_{12} \approx 1$  and  $n_{n12} \approx 0.1$ , consisting entirely of neutral helium. The ion-neutral helium collision time,  $\tau_{ni} \approx 10^{-3} n_{n12}^{-1} \approx 10^{-2} \text{ sec}^{-1}$ , which gives  $\omega \tau_{ni} \approx 6 \times 10^{-3}$ . Under this regime the wave energy dissipation time (Holzer et al., 1983) is

$$\tau_D \approx \frac{n_{12}}{n_{n12}} \frac{1}{\tau_{ni} \omega^2} \approx 2500 \text{ sec.}$$

Observed decay time of  $\approx 10^3$  seconds may or may not be naturally explained without needing to invoke dynamical MHD processes, depending on the (unknown) frequency  $\omega$  of the oscillations.

## Concluzii

Liniile de emisie rezonantă ale atomului de Magneziu în primul stadiu de ionizare (Mg II) prezintă importante variații în funcție de nivelul de activitate solară, dar oferă informații corespunzătoare mai multor “înălțimi” din cromosferă dacă luăm în calcul detaliile structurale ale profilului.

### **Condiții de activitate redusă: efecte la marginea supergranulelor**

- Intensificări ale intensității și lărgimii profilelor
- Separarea maximelor însoțită de scăderea adâncimii centrului de absorbție
- Contrastul dintre zonele inactive pure și găurile coronale este parțial vizibil în separarea maximelor de emisie

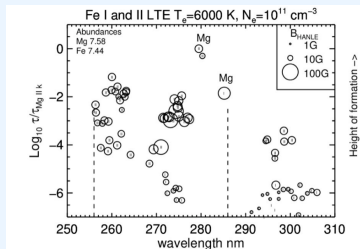
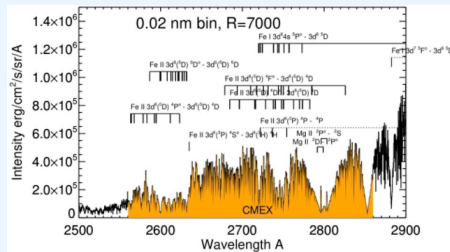
### **Condiții eruptive**

- Profilul nu prezintă centru de absorbție  $\Rightarrow$  comprimarea zonei de emisie
- Liniile subordonate sunt în emisie  $\Rightarrow$  gradient de temperatură
- Intensificarea emisiei și lărgimii liniei  $\Rightarrow$  mișcări turbulente
- Destabilizare filamentului precede erupția cu cel puțin 10 minute
- Deplasare Doppler spre roșu persistentă în ploaia coronală
- Lărgirea liniilor cauzată de mișcări la scală mică în interiorul unei plasme anisotropice
- Cauză plauzibilă: Amortizare unor unde Alfvénice excitate în faza impulsivă a erupției în interiorul plasmei din ploaie coronală

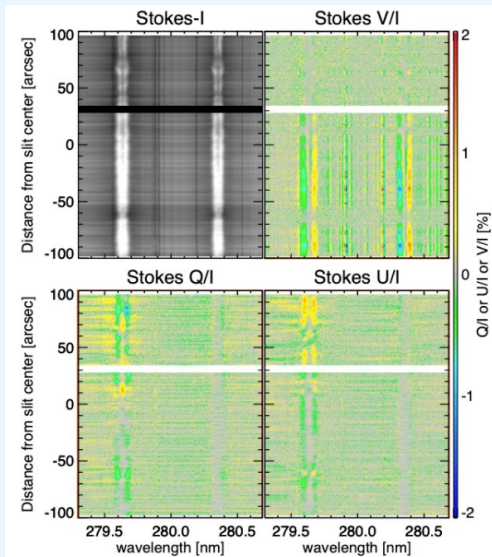
# Încotro?

Rezultatele spectroscopice sunt limitate de lipsa informațiilor care ar clarifica ambiguitățile observaționale. Posibile rezolvări:

- Multiple linii sensibile la condiții atmosferice din întregul volum
- Măsurători de câmp magnetic în cromosferă
- Multiple linii sensibile la efecte ale câmpului magnetic: efectul Hanle și efecte magneto-optice (iluminare anizotropică, variații de câmp magnetic)
- Modelare ale emisie acestor ioni, considerând structuri atomice suficient de detaliate, efecte radiative, în afara condițiilor de echilibru termic local
- Utilizarea de metode de inteligență artificială în prelucrarea și modelare datelor observaționale.

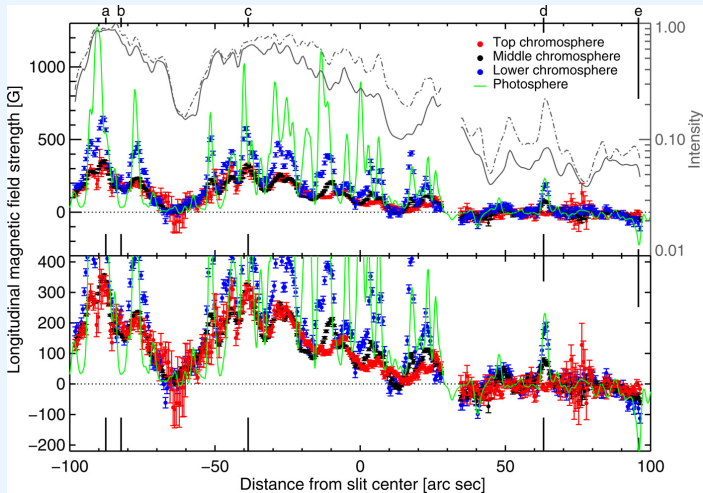


# Încotro?



Ishikawa et al. (2021)

# Încotro?



Ishikawa et al. (2021)



**Vă mulțumesc pentru atenție!**

# References

- Anderson, L. S., & Athay, R. G. 1989, *Astrophys. J.*, **336**, 1089
- De Pontieu, B., Title, A. M., Lemen, J. R., et al. 2014, *Solar Phys.*, **289**, 2733
- Holzer, T. E., Fla, T., & Leer, E. 1983, *Astrophys. J.*, **275**, 808
- Ishikawa, R., Bueno, J. T., del Pino Alemán, T., et al. 2021, *Science Advances*, **7**,  
<https://advances.sciencemag.org/content/7/8/eabe8406.full.pdf>,  
<https://advances.sciencemag.org/content/7/8/eabe8406>
- Lacatus, D. A., Judge, P. G., & Donea, A. 2017, *Astrophys. J.*, **842**, 15
- Liu, W., Heinzel, P., Kleint, L., & Kašparová, J. 2015, *Solar Phys.*, **290**, 3525
- Vernazza, J. E., Avrett, E. H., & Loeser, R. 1981, *Astrophys. J. Suppl.*, **45**, 635
- Yokoyama, T., & Shibata, K. 1998, *Astrophys. J. Lett.*, **494**, L113

